

组、模型对照组灌胃同体积生理盐水,其他各组灌胃相应药液,给药体积均为 10ml/kg。(4)供试大鼠血糖检测:分组后开始灌胃治疗性给药,连续 14 天。于给药后第 7 天、第 14 天天断尾尖采血,用血糖仪与血糖试纸测大鼠血糖值,观察大鼠血糖变化情况。

3. 统计学方法:测定数据用 SPSS 10.0 软件进行数据分析,结果以均数±标准差($\bar{x} \pm s$)表示,用单因素方差分析数据,以 $P < 0.05$ 为差异有统计学意义。

结 果

实验大鼠经腹腔给药 STZ 后,各鼠均表现出多饮、多食、多尿及体重减轻的典型糖尿病症状,且 72h 后血糖值较正常血糖值范围均明显升高(>18mmol/L),表明 2 型糖尿病大鼠造模成功。给药 7 天后,测定各组大鼠血糖值,生五味子组大鼠血糖值显著降低,与模型组比较差异有统计学意义,接近阿卡波糖阳性对照组,而醋五味子组未表现出降血糖作用。给药 14 天后,生五味子组、醋五味子组大鼠血糖值与给药 7 天时相比,出现了相反的结果:醋五味子组大鼠血糖值明显降低,接近正常血糖值水平,但生五味子组大鼠血糖值却出现了升高的现象,且升高显著。结果见表 1。

表 1 生、醋五味子对 STZ 致 2 型糖尿病大鼠血糖的影响($\bar{x} \pm s$, mmol/L)

组别	n	造模后	给药 7 天	给药 14 天
空白对照组	10	4.29 ± 0.70 *	3.26 ± 0.53 *△	3.14 ± 0.46 *
模型对照组	10	20.60 ± 1.07	20.38 ± 2.62 △	20.00 ± 2.11 △
阿卡波糖组	10	20.64 ± 0.95	8.14 ± 2.40 *	3.04 ± 0.34 *△
生五味子组	10	19.69 ± 2.44	6.83 ± 1.53 *	17.61 ± 0.83 *△
醋五味子组	10	21.45 ± 1.88	21.85 ± 2.70 △	7.98 ± 3.41 *△

与空白对照组比较, * $P < 0.05$; 与阿卡波糖组比较, △ $P < 0.05$

讨 论

传统理论认为五味子“入补药熟用,入嗽药生

用”,即五味子“生熟异用”^[5]。本研究选择五味子功效中治疗“津伤口渴、内热消渴”为研究内容,进行五味子及其药典收载炮制品种——醋五味子的对比研究,意在为五味子临床合理应用提供实验依据。

实验研究表明,生五味子、醋五味子对 STZ 致 2 型糖尿病大鼠均表现出降血糖作用,与传统功效“内热消渴”相吻合。生品、炮制品间降血糖作用表现出明显差异,即生五味子降血糖作用起效快且显著,表现在给药 7 天时大鼠血糖值降低显著,但在给药 14 天后,大鼠血糖值反而上升;醋五味子,降血糖作用起效慢,表现在给药 14 天时大鼠血糖值降低显著。

关于五味子炮制前后降血糖作用的研究未见报道,本研究对此进行初探并对实验结果进行了客观如实的报道,虽就目前研究结果而言,还不能对临床应用有明显的帮助,但可为进一步的研究奠定很好的基础。由于本实验按照参考文献[6]方法,仅考察了给药 7 天、14 天时大鼠的血糖值变化情况,但鉴于五味子及其炮制品较明显的降血糖作用,在今后的研究中,将继续对五味子及其炮制品降血糖作用进行深入研究,拟将其纳入复方中,更好地探明五味子的炮制原理。

参 考 文 献

- 国家药典委员会. 中华人民共和国药典[S]. 北京: 化学工业出版社, 2010: 61–62
- 葛会奇. 五味子炮制工艺规范化及原理研究[D]. 沈阳: 辽宁中医药大学, 2007
- 陆兔林, 毛春芹, 吕高虹, 等. 五味子不同炮制品补益作用的实验研究[J], 中国药学杂志, 2009, 44(15): 1147–1149
- 姚庆, 陆兔林, 胡芳, 等. 五味子不同炮制品对小鼠 CYP450 的诱导作用[J]. 华西药学杂志, 2011, 26(3): 249–251
- 张浩. 仁术便览[M]. 海口: 海南国际新闻出版社, 1995: 320
- 徐叔云, 卞如濂, 陈修. 药理实验方法学[M]. 3 版. 北京: 人民卫生出版社, 2002

(收稿日期:2013-09-24)

(修回日期:2013-10-25)

肝内胆管细胞型肝癌中 HLA - F 的表达及临床意义

徐永富 方哲平 陈 霞 潘君芬 陈思思 蒋琼英

摘 要 目的 探讨 HLA - F 在肝内胆管细胞型肝癌(ICC)中的表达及其临床意义。**方法** 应用免疫组织化学染色方法检测 HLA - F 在 75 例 ICC 癌灶组织及 51 例相应邻近正常组织中的表达水平,应用 Pearson χ^2 检验分析癌灶区 HLA - F 表达量和各

基金项目:浙江省科学技术厅基金资助项目(2009C33096)

作者单位:317000 温州医科大学附属浙江省台州医院肝胆外科

通讯作者:方哲平,教授、主任医师,电子信箱:fangzheping@yeah.net

临床病理因素的关系。结果 HLA - F 在 ICC 癌灶组织中表达阳性率为 38.7% (29/75), 而邻近正常肝脏组织不表达 HLA - F ($P < 0.05$)。HLA - F 表达量与肿瘤数目 ($P = 0.030$)、血管/淋巴管浸润情况 ($P = 0.019$) 等相关。结论 HLA - F 在肝内胆管细胞型肝癌的发生和发展中可能发挥着重要的作用, 并可能成为 ICC 潜在诊断指标之一。

关键词 肝内胆管细胞型肝癌 HLA - F 临床意义

[中图分类号] R735

[文献标识码] A

Expression and Its Clinical Significance of HLA - F in Intrahepatic Cholangiocarcinoma. Xu Yongfu, Fang Zheping, Chen Xia, Pan Jun-fen, Chen Sisi, Jiang Qiongying. Department of Hepatobiliary Surgery, Taizhou Hospital of Zhejiang Province, Wenzhou Medical University, Zhejiang 317000, China

Abstract Objective To investigate the expression and clinical significance of HLA - F in intrahepatic cholangiocarcinoma (ICC) tissues. **Methods** The HLA - F expressions of 75 cases ICC lesions and 51 case - matched adjacent normal tissues were detected with immunohistochemical staining. The correlations of HLA - F expression and clinicopathological characteristics were analyzed with Pearson χ^2 test. **Results** HLA - F expression was observed in 38.7% (29/75) of the ICC lesion, while was negative in adjacent normal tissues ($P < 0.05$). HLA - F expression was closely related to tumor nodular number ($P = 0.030$) and venous/lymphatic invasions ($P = 0.019$). **Conclusion** HLA - F plays a mutually promoting role in the carcinogenesis and development of ICC, and may be a diagnostic indicator for ICC patients.

Key words Intrahepatic cholangiocarcinoma; HLA - F; Clinical significance

肝内胆管细胞型肝癌 (intrahepatic cholangiocarcinoma, ICC) 是一种源于肝内胆管上皮细胞的恶性肿瘤, 约占原发性肝癌的 5% ~ 15%, 其恶性程度高, 预后差, 手术切除率远比肝细胞癌要低^[1,2]。随着对肿瘤研究的深入, 发现人类白细胞抗原 (human leukocyte antigen, HLA) 与肿瘤的发生、发展密切相关, HLA - I 类分子表达下调可使肿瘤细胞逃避细胞毒性 T 细胞的免疫识别, 而非经典 HLA - I 类分子 (HLA - E、G、F) 作为免疫耐受分子, 亦可帮助肿瘤细胞逃避机体免疫细胞 (NK 细胞、T 细胞等) 的识别与杀伤^[3,4]。HLA - F 是新近发现的第 3 种非经典 HLA - I 类分子, 其基因多态性 (HLA - F * 01:04) 与肝癌的易感性有关, HLA - F 抗体存在于各种肿瘤患者 (包括肝癌) 的血清中, 而且证实在肺、食管、胃等多部位肿瘤组织中存在 HLA - F 异常表达^[5~9]。

目前, 国内外尚未见到 HLA - F 与 ICC 的相关性报道, 本研究中笔者利用免疫组化法检测 ICC 组织中 HLA - F 的表达情况, 并分析其与临床病理因素的相关性, 探讨 HLA - F 与 ICC 发生、发展的内在关系。

材料与方法

1. 标本来源: 收集 2003 年 1 月 ~ 2012 年 5 月在温州医科大学附属浙江省台州医院接受手术治疗的 75 位 ICC 患者的组织标本 (75 例 ICC 癌灶组织及 51 例邻近正常组织), 术后均确诊为肝内胆管细胞型肝癌。肿瘤病理诊断参照世界卫生组织标准、临床分期标准参照美国癌症联合委员会 (AJCC) 制定的第七版 TNM 分期标准^[10]。术前患者均未接受放化疗或其他任何药物干预。并有完整临床病理资料 (年龄、性别、病

理诊断、被膜累及情况、血管/淋巴管浸润情况、肿瘤直径、肿瘤数目、TNM 分期等)。所有人体标本的研究均事先获得伦理委员会的批准。

2. 免疫组织化学染色: 石蜡包埋组织按照 4 μm 厚度进行连续切片, 所得石蜡切片常规脱蜡、梯度乙醇水化; 3% H₂O₂ 孵育 15 min, 消除内源性过氧化物酶活性; 高压锅热处理 5 ~ 8 min 进行抗原修复; 山羊血清孵育 15 min, 消除非特异性抗体; 滴加按照 1:300 稀释后的兔抗人 HLA - F 抗体 14670 - 1 - AP (proteintec group, Chicago, IL, USA), 湿盒内 4℃ 孵育过夜; 滴加山羊抗兔抗体 (二抗, Dako, Glostrup, Denmark), 室温孵育 1 h, PBS 冲洗; 浓缩型 DAB 显微镜下控制显色; 苏木精复染, 脱水, 中性树脂封片。皮肤癌组织用于阳性对照, 以 PBS 替代 HLA - F 抗体作为阴性对照。

3. HLA - F 表达结果判定: 阳性细胞表现为细胞膜或细胞质出现棕色或棕褐色颗粒, 由 2 名病理医师进行独立双盲半定量评估, 取其平均值作为最终结果。切片内染色阳性细胞数占全部细胞 5% 以上标记为 HLA - F 表达阳性, 反之记为阴性。

4. 统计学方法: 采用 SPSS 13.0 统计软件, HLA - F 在癌灶组织和正常组织差异表达, 以及其与各临床病理因素的关系分析均采用 Pearson χ^2 检验, 以 $P < 0.05$ 为差异有统计学意义。

结 果

1. HLA - F 在 ICC 癌灶组织中异常高表达: 细胞膜或细胞质出现棕色或棕褐色染色产物定位为 HLA - F 阳性细胞, 皮肤癌组织作为阳性对照, 以 PBS 代替 HLA - F 抗体作为阴性对照 (图 1)。在肝癌癌灶组织中表达阳性率为 38.7% (29/75), 而邻近正常组织不表达 HLA - F (0/51), 差异有统计学意义 ($\chi^2 = 25.616, P < 0.05$), 癌灶组织 HLA - F 表达升高。

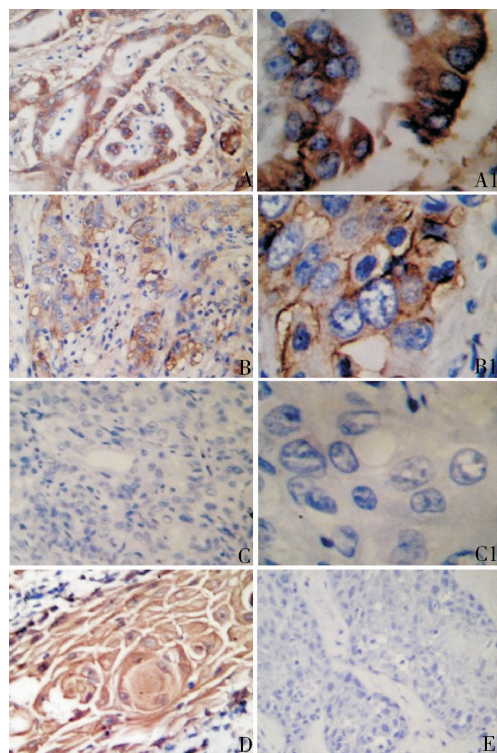


图1 免疫组织化学染色检测 HLA-F 表达

A、B. ICC 瘤组织中 HLA-F 阳性表达, 染色产物可位于胞质(A)或细胞膜(B);C. ICC 瘤组织中 HLA-F 阴性表达;D、E. 分别为 HLA-F 在皮肤癌组织阳性和阴性对照。A~E 图放大倍数为 100 倍,A1、B1、C1 图分别对应 A、B、C 图, 放大倍数为 400 倍

2. 肝癌中 HLA-F 的表达量与临床病理参数的关系:为研究 HLA-F 的临床相关性, 笔者分析了肝癌瘤灶区 HLA-F 表达量与各临床病理因素的关系。数据显示 HLA-F 表达与肿瘤数目($\chi^2 = 4.723, P = 0.030$)、血管/淋巴管浸润情况($\chi^2 = 5.476, P = 0.019$)相关, 而与患者性别、年龄、被膜累及情况、肿瘤直径、TNM 分期等无明显相关。HLA-F 表达更多见于肿瘤多发或伴有血管/淋巴管浸润的 ICC 患者(表 1)。

讨 论

本次实验发现, 38.7% ICC 瘤灶组织表达 HLA-F, 而邻近正常组织均无 HLA-F 表达, 差异有统计学意义, HLA-F 在瘤灶组织中表达升高。进一步统计分析发现, 瘤灶区 HLA-F 表达量和肿瘤数目、血管/淋巴管浸润等相关;笔者由此推测, HLA-F 在 ICC 的发生和发展过程中可能发挥着重要的作用, 并且有望成为 ICC 的潜在诊断指标之一。

1990 年, Geraghty 等^[11]首次从 B-LCL721.221 细胞系中抽出第 3 个非经典 HLA-I 类分子(又称为 HLA-I b), 并命名为 HLA-F, 其基因位于人类 6 号染色体短臂上, 靠近着丝粒末端, 全长 5.4kb。

表 1 ICC 瘤灶区 HLA-F 的表达量与临床病理因素的关系[n(%)]

临床病理因素	n	HLA-F 表达		χ^2	P
		阴性	阳性		
性别					
男性	55	31(56.4)	24(43.6)	2.148	0.143
女性	20	15(75.0)	5(25.0)		
年龄(岁)					
≤58	40	25(62.5)	15(37.5)	0.049	0.824
>58	35	21(60.0)	14(40.0)		
肿块直径(cm)					
≤3	24	13(54.2)	11(45.8)	0.456	0.764
>3	51	33(64.7)	18(35.3)		
血管/淋巴管浸润					
有	53	37(69.8)	19(30.2)	5.476	0.019
无	22	9(61.3)	13(38.7)		
被膜累及					
有	59	38(64.4)	21(35.6)	1.102	0.294
无	16	8(50.0)	8(50.0)		
肿瘤数目					
单发	63	42(66.7)	21(33.3)	4.723	0.030
多发	12	4(33.3)	8(66.7)		
TNM 分期					
I / II	57	35(61.4)	22(38.6)	0.000	0.982
IV / V	18	11(61.3)	7(38.7)		

HLA-F 分子是一个 β_2 -微球蛋白相关的(40~41)kDa 大小的、具有相对较低多态性的蛋白。HLA-F 基因亦由 8 个外显子和 7 个内含子组成, 但成熟的 mRNA 缺乏外显子 7, 导致其编码的 HLA-F 蛋白尾部较其他 HLA-I 类分子短^[11,12]。HLA-F 即可存在于胞内, 亦可表达于细胞膜表面。早期研究在细胞内检测到了 HLA-F 蛋白表达, Wainwright 等^[13] 利用一种针对 HLA-F a1 结构域的单克隆抗体, 在外周血 B 细胞, B 细胞株及含有 B 细胞的组织(如成人扁桃体, 婴儿肝脏)中发现了其胞内表达; Lepin 等^[14] 利用 HLA-F 蛋白和 β_2 -m 重组蛋白作为免疫原产生抗体, 用该抗体检测发现扁桃体、脾脏及胸腺组织, 和许多种组织及细胞株如膀胱、皮肤、肝脏细胞株等均有 HLA-F 胞内表达。后期研究发现, 在侵入母体蜕膜的绒毛膜滋养层细胞、EB 病毒转染的淋巴细胞株、以及活化后的 B 细胞、T 细胞、NK 细胞、单核细胞等细胞表面均有 HLA-F 表达^[15~17]。

目前认为 HLA-F 主要功能是参与免疫调节, 维持免疫耐受。Lepin 等^[14] 研究认为, HLA-F 可能是通过结合抑制性受体(ILT2 和 ILT4)发挥免疫抑制作用。而 Lee 等^[17] 研究发现 HLA-F 表面表达与淋巴细胞活化同步, 可以作为免疫系统激活的标志物, 同时推测 HLA-F 可作为信号分子, 作用于调节性 T 细胞, 引起机体的免疫耐受。Goodridge 等^[18] 发现 HLA

-F 可以介导外源蛋白的 MHC - I 类分子交叉递呈途径，并且不依赖 TAP 及 tapasin，对溶酶体酶抑制剂敏感，揭示了该途径对机体免疫调节和免疫防御的重要性，并且还分析了 HLA - F 与 MHC 分子的受体 - 配体关系，证实 HLA - F 可以与 NK 细胞和 T 细胞上的杀伤细胞免疫球蛋白样受体 (KIR3DL2、KIR2DS4) 结合，作为配体，调节其免疫活性^[18,19]。HLA - F 对维持正常妊娠具有特殊意义，从免疫学观点出发，胚胎是一个半异己的同种自然移植物，母体免疫系统中的免疫细胞能否识别并耐受胚胎抗原，直接影响妊娠的建立与维持，Shobu 等^[20]发现 HLA - F 参与了母胎耐受的建立，为胎儿生长准备适宜环境。当 HLA - F 表达改变时，会引起 T 细胞、NK 细胞自体免疫反应，还导致各种免疫相关疾病，如呼吸道炎症、皮肤溃疡等^[21]。而在肿瘤方面，我们早期已有实验研究了 HLA - F 与非小细胞肺癌、食管鳞癌和胃癌的关系^[7~9]：在肺癌组织中，24.1% (20/83) 的癌灶组织表达 HLA - F，但邻近正常组织不表达 HLA - F，而食管鳞癌癌灶组织和邻近正常组织均有 HLA - F 表达（阳性率分别为 58.1%、54.8%），HLA - F 在胃癌组织中的阳性率更是高达 71.1%。进一步分析发现 HLA - F 表达量和肿瘤分化程度、淋巴结转移、TNM 分期等无明显相关性，但 HLA - F 表达改变与肺癌、食管癌患者的预后相关。可见肿瘤细胞亦可能通过高表达 HLA - F，躲避机体免疫系统的监视，为其自身生长创造良好环境，HLA - F 维持免疫耐受的功能也更好解释并论证了我们的结论。同时，HLA - F 在上述 3 种肿瘤组织中表现出不同的分布特点和临床相关性，推测 HLA - F 因肿瘤类型差异可表现出不同的生物学行为特点。

总之，HLA - F 在 ICC 癌灶中表达升高，且与肿瘤数目及血管/淋巴管浸润等有关，提示 HLA - F 在 ICC 的发生和发展中可能发挥了重要的作用，并可能成为 ICC 潜在诊断指标之一。HLA - F 的发现为肿瘤研究开启了新的领域，HLA - F 与 ICC 的关系仍需进一步研究探索。

参考文献

- McGlynn KA, Tsao L, Hsing AW, et al. International trends and patterns of primary liver cancer [J]. Int J Cancer, 2001, 94(2):290~296
- Goodman ZD. Neoplasms of the liver [J]. Mod Pathol, 2007, 20 Suppl 1N: S49~60
- Garrido F, Algarra I, Garcl'a - Lora AM. The escape of cancer from T lymphocytes immunoselection of MHC class I loss variants harboring structural - irreversible "hard" lesions [J]. Cancer Immunol Immunother, 2010, 59:1601~1606
- Wischhusen J, Waschbisch A, Wiendl H. Immune - refractory canc-
- ers and their little helpers—an extended role for immunetolerogenic MHC molecules HLA - G and HLA - E? [J]. Semin Cancer Biol, 2007, 17:459~468
- Zhang J, Pan L, Chen L, et al. Non - classical MHC - I genes in chronic hepatitis B and hepatocellular carcinoma [J]. Immunogenetics, 2012, 64(3):251~258
- Noguchi K, Isogai M, Kuwada E, et al. Detection of anti - HLA - F antibodies in sera from cancer patients [J]. Anticancer Res, 2004, 24(5C):3387~3392
- Lin A, Zhang X, Ruan YY, et al. HLA - F expression is a prognostic factor in patients with non - small - cell lung cancer [J]. Lung Cancer, 2011, 74(3):504~509
- Zhang X, Lin A, Zhang JG, et al. Alteration of HLA - F and HLA I antigen expression in the tumor is associated with survival in patients with esophageal squamous cell carcinoma [J]. Int J Cancer, 2013, 132:82~89
- Zhang JG, Zhang X, Lin A, et al. Lesion HLA - F expression is irrelevant to prognosis for patients with gastric cancer [J]. Hum Immunol, 2013, 74(7):828~832
- Edge SB, Byrd DR, Compton CC, et al. AJCC cancer staging manual [J]. New York: Springer - Verlag, 2009:117~126
- Geraghty DE, Wei XH, Orr HT, et al. Human leukocyte antigen F (HLA - F). An expressed HLA gene composed of a class I coding sequence linked to a novel transcribed repetitive element [J]. J Exp Med, 1990, 171:1~18
- Lury D, Epstein H, Holmes N. The human class I MHC gene HLA - F is expressed in lymphocytes. Int [J]. Immunol, 1990, 2:532
- Wainwright SD, Biro PA, Holmes CH. HLA - F is a predominantly empty, intracellular, TAP - associated MHC class Ib protein with a restricted expression pattern [J]. J Immunol, 2000, 164:319~328
- Lepin EJ, Bastin JM, Allan DS, et al. Functional characterization of HLA - F and binding of HLA - F tetramers to ILT2 and ILT4 receptors [J]. Eur J Immunol, 2000, 30: 3552~3561
- Lee N, Geraghty DE. HLA - F surface expression on B cell and monocyte cell lines is partially independent from tapasin and completely independent from TAP [J]. J Immunol, 2003, 171:5264~5271
- Ishitani A, Sageshima N, Lee N, et al. Protein expression and peptide binding suggest unique and interacting functional roles for HLA - E, F, and G in maternal - placental immune recognition [J]. J Immunol, 2003, 171:1376~1384
- Lee N, Ishitani A, Geraghty DE. HLA - F is a surface marker on activated lymphocytes [J]. Eur J Immunol 2010, 40:2308~2318
- Goodridge JP, Lee N, Burian A, et al. HLA - F and MHC - I open conformers cooperate in a MHC - I antigen cross - presentation pathway [J]. J Immunol, 2013, 191:1567~1577
- Goodridge JP, Burian A, Lee N, et al. HLA - F and MHC class I open conformers are ligands for NK cell Ig - like receptors [J]. J Immunol, 2013, 191(7):3553~3562
- Shobu T, Sageshima N, Tokui H, et al. The surface expression of HIA - F on decidua trophoblasts increases from mid to term gestation [J]. J Reprod Immunol, 2006, 72(1~2):18~32
- Furukawa H, Yabe T, Akaza T, et al. Cell surface expression of HLA - E molecules on PBMC from a TAP1 - deficient patient [J]. Tissue Antigens, 1999, 53: 292~295

(收稿日期:2013-10-10)

(修回日期:2013-10-28)